

STUDIO SULLE SESSE DEL LAGO DI ALBANO

MAURIZIO GIORGI

La prime ricerche limnologiche in Italia risalgono al 1662 ⁽¹⁾ ed ebbero inizio con uno studio del P. Atanasio Kircher sui laghi di Albano e Nemi. Da allora i numerosissimi studi fatti sia da italiani — per la più gran parte — che da stranieri, si limitano generalmente all'aspetto morfologico, geologico o biologico; la limnologia fisica è stata trascuratissima in Italia e soltanto per qualche lago si hanno sporadici dati riguardanti la temperatura, la colorazione, la trasparenza, le sesse, ecc.

La limnologia in Italia, come altrove, ebbe nuovo impulso e maggiore rigore scientifico con gli studi del naturalista svizzero F. A. Forel.

Dobbiamo però constatare che per quanto numerose siano le pubblicazioni riguardanti i laghi italiani siamo ben lontani dal possedere una sufficiente conoscenza delle loro caratteristiche geofisiche quale ci si può attendere da studi condotti con metodo scientifico e con i mezzi di indagine che si possono avere al presente.

E' necessario, per colmare questa lacuna, condurre ricerche sistematiche e scientificamente rigorose ed a questo scopo l'Istituto Nazionale di Geofisica ha iniziato lo studio delle sesse dei principali bacini lacustri italiani; a tale studio faranno seguito altre indagini nei riguardi della temperatura, dell'assorbimento delle radiazioni, ecc.

E' in questo programma di studi che prende posto la presente ricerca che riguarda lo studio teorico delle sesse del lago di Albano: i risultati di questo studio saranno confrontati, quanto prima possibile, con i dati sperimentali su un modello di lago già appositamente costruito in scala convenientemente ridotta e quindi sottoposti a verifica con le registrazioni di limnografi che dovranno essere installati in siti opportuni sulle rive del lago.

Il lago di Albano.

Il lago di Albano sui colli laziali è in fondo ad una conca le cui pareti scendono ripidissime da ogni lato meno che Nord-Ovest ove hanno un declivio molto meno accentuato: la sua forma è grossolana-

mente ellittica con l'asse maggiore diretto da nord-ovest a sud-est.

Molti studiosi si sono occupati dei problemi geologici dell'interessantissima regione laziale ed hanno cercato di dare una plausibile spiegazione della presenza di questa cavità nel vulcano laziale. L'ipo-

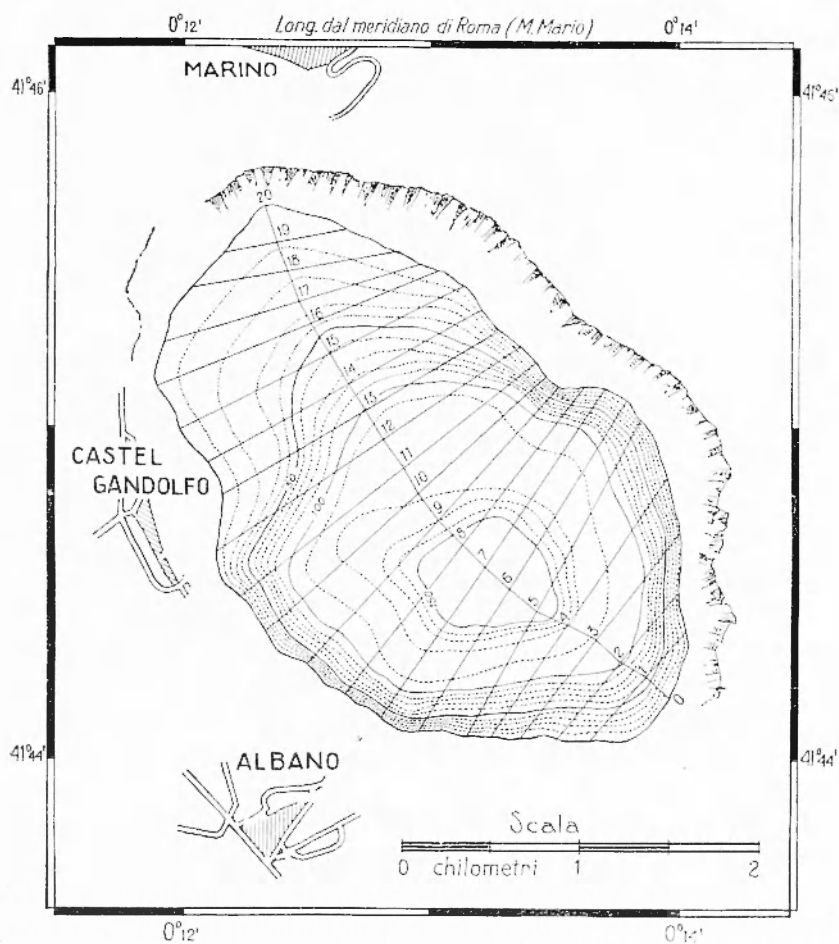


Fig. 1

tesi più attendibile (²), tra le diverse proposte, basata su inconfondibili rilievi geologici, è che il lago si sia formato nel cratere costituito dall'intersezione di due bocche vulcaniche contigue: la porzione meridionale del lago, che è quella in cui si riscontra la massima profondità e costituisce come una ulteriore depressione dopo una zona quasi pianeggiante, come si può vedere nella cartina batometrica, è

formata dalla più recente delle due bocche; infatti la profondità qui è maggiore che nella parte settentrionale perchè quest'ultima venne in parte colmata dai prodotti di questa bocca eruttiva.

Il lago è situato a $41^{\circ}45'$ ca. lat. N, a $0^{\circ}13'$ ca. long. E (Monte Mario) ed a 293 m sul livello del mare; le sue acque sono azzurre, molto limpide e trasparenti (n. VIII della scala Forel-Ule); termicamente appartiene alla categoria dei laghi temperati; ha un emissario artificiale di epoca romana (398-97 a. C.) scavato nel peperino per 1800 m, alto m 1,80, largo m 1,20 con l'imboccatura a metà delle coste occidentali; misura 3500 m di lunghezza e 2300 di larghezza, 10 km di circuito e 602 ettari di superficie (¹⁵), la massima profondità è di m 170 e si riscontra, come abbiamo sopra osservato nella parte centro-meridionale; le pareti hanno un pendio irregolare; sono ripidissime fino a 100 m di profondità, divengono poi pressoché pianeggianti da 100 a 120 m e poi tornano di nuovo a scendere rapidamente dai 120 a 160 m; il bacino imbrifero è di kmq 9,74 circa, ed è alimentato, inoltre, da sorgenti per lo più interne.

Determinazione teorica dei dati relativi alle sesse del lago di Albano.

Per la determinazione teorica dei dati riguardanti le sesse del lago di Albano ho usato due metodi diversi: il metodo di Defant e quello del giapponese Hidaka.

Per quanto concerne la bibliografia e l'illustrazione dei metodi più opportuni per la determinazione dei dati relativi alle sesse rinviamo alle memorie originali (⁶, ⁷, ⁸) ed in particolare ad una recente pubblicazione di P. Caloi (⁹) avente per oggetto lo studio delle sesse del lago di Garda.

Per quanto riguarda l'applicazione dei metodi sopra accennati ci limiteremo per brevità alle indicazioni più necessarie.

E' noto che le ipotesi semplificative che si introducono per rendere affrontabile lo studio delle sesse in bacini chiusi od aperti conducono alla risoluzione delle due equazioni seguenti:

$$\frac{\partial^2 \xi}{\partial t^2} = -g \frac{\partial \eta}{\partial x} \quad [1]$$

$$\eta = - \frac{1}{b(x)} \frac{\partial}{\partial x} \left[S(x) \xi \right] \quad [2]$$

dove: ξ rappresenta lo spostamento orizzontale uguale per tutte le particelle di una stessa sezione verticale $S(x)$, x l'ascissa lungo la linea

di valle, $b(x)$ la larghezza in superficie della $S(x)$, η lo spostamento verticale delle particelle d'acqua.

G. Chrystal trasforma, mediante la sostituzione di opportune variabili le [1] e [2] nelle seguenti equazioni:

$$\frac{\partial^2 u}{\partial t^2} = g \sigma(v) \frac{\partial^2 u}{\partial v^2} \quad [3]$$

e:

$$\eta = - \frac{\partial u}{\partial v} \quad [4]$$

dove:

$$u = \xi S(x) \quad [5]$$

è il volume d'acqua che passa attraverso la sezione $S(x)$ in corrispondenza dello spostamento orizzontale ξ :

$$v(x) = \int_0^x b(x) dx \quad [6]$$

è l'area in superficie dall'ascissa $x=0$ alla sezione $S(x)$ e varia tra i limiti 0 ed a (a =area totale del bacino)

$$0 \leq v(x) \leq a \quad [7]$$

$$\sigma(v) = S(x)b(x) \quad [8]$$

è il prodotto dell'area della sezione trasversale corrispondente all'ascissa x per la larghezza in superficie di questa stessa sezione ed è una funzione di v che si annulla ad entrambe le estremità del lago:

$$\sigma(0) = \sigma(a) = 0. \quad [9]$$

Se si esprime la u mediante la serie di funzioni sinusoidali:

$$u = \sum_1^{\infty} u_i(v) \text{ sen } \frac{2\pi}{T_i} (t-t_i) \quad [10]$$

l'eq. di Chrystal diviene:

$$\sigma(v) \frac{d^2 u}{\partial v^2} + \frac{4\pi^2}{gT^2} u = 0 \quad [11]$$

ed è soggetta alle condizioni ai limiti:

$$u(0) = u(a) = 0. \quad [12]$$

Il diagramma che rappresenta l'andamento di $\sigma(v)$ in funzione di v fu chiamato da Chrystal « curva normale »; Chrystal ha trovato la soluzione della [11] in diversi casi particolari in cui la $\sigma(v)$ può rappresentarsi mediante una curva analitica semplice o tratti raccordati di curve analitiche (tratti rettilinei, archi di parabola, quar-

TABELLA I

No	α	S(x)	b(x)	v(x)	Sesse uninodale				Sesse binodale				Sesse trinodale							
					Δx	q ₁	Δγ ₁	γ	Δγ ₁	γ	q ₁	Δγ ₁	γ	q ₁	Δγ ₁	γ				
0	0	0	0	0	4π ² qT ² Δx	q ₁ ν(x)	Σ q S(x)Δx	Δγ ₁	γ	q ₁	4π ² qT ² Δx	q ₁ ν(x)	Σ q S(x)Δx	Δγ ₁	γ	q ₁				
0	0	0	0	0	0,01748213	131,290	-3,656	100,000	0	0	0	0	0	0	0	100,000	0			
1	178,75	55,675	812,9	151,290	178,75	302,425	-3,966	89,354	0,0311350	131,290	-3,659	-11,139	88,61	0,033511	131,290	-3,658	-20,75	79,75	142,695	
2	357,50	75,675	110,00	179,166	"	517,790	-4,319	90,168	"	290,069	-3,662	-11,900	76,71	"	274,135	-3,613	-20,000	50,75	141,900	
3	536,25	119,675	1485,0	237,350	"	749,136	-4,645	45,42	"	472,995	-3,939	-15,226	64,45	"	416,041	-3,471	-19,21	40,34	109,796	
4	715,00	161,290	1775,0	370,854	"	1,059,867	-4,995	79,76	3,07351	646,749	-4,011	-17,49	51,96	"	579,657	-3,761	-18,05	22,49	87,617	
5	893,75	214,000	2075,0	509,583	"	1,342,599	-5,109	6,77	"	1,001,015	-3,810	-11,86	27,75	"	611,454	-2,867	-15,87	6,62	25,377	
6	1072,50	267,750	2275,0	648,334	"	1,615,945	-5,811	7,06	"	1,112,565	-4,006	-15,47	15,28	"	611,731	-2,202	-12,19	16,93	67,044	
7	1251,25	277,750	2720,0	802,003	"	1,867,568	-7,177	8,68	"	1,166,710	-4,566	-14,23	1,00	41,25	540,687	-2,124	-11,76	36,39	126,306	
8	1430,00	296,500	2176,0	954,167	"	2,043,437	-9,058	11,01	40,74	1,170,635	-5,104	-16,14	15,14	58,037	413,091	-1,651	-10,25	40,51	156,937	
9	1608,75	325,875	2125,0	1122,500	"	2,197,607	-9,655	12,01	28,73	1,112,796	-4,990	-15,54	3,68	113,772	251,154	-1,171	-6,46	41,52	175,648	
10	1787,50	373,000	2175,0	1303,333	"	2,304,148	-10,953	13,34	15,39	999,026	-4,749	-14,79	-48,47	"	65,329	-0,705	-2,21	42,52	234,627	
11	1966,25	210,375	21220	170,284	"	2,367,632	-14,470	-17,65	7,24	811,462	-4,959	-15,44	6,931	233,468	-121,542	0,748	-4,11	-45,55	-174,605	
12	2145,00	163,625	1662,0	412,500	"	2,359,945	-19,514	-25,77	76,01	577,974	-4,766	-14,68	78,60	233,717	-296,151	2,469	13,56	31,99	96,556	
13	2323,75	120,875	1825,0	545,333	"	2,278,647	-25,077	-30,55	-38,56	344,257	-3,789	-11,79	87,59	306,365	-594,707	4,549	24,04	7,95	27,462	
14	2502,50	90,875	1775,0	760,134	"	2,080,867	-31,000	-37,76	94,32	37,692	-0,562	-1,75	89,34	290,355	-422,612	6,295	34,85	26,90	87,425	
15	2681,25	67,125	1775,0	150,000	"	1,774,347	-41,025	-49,96	144,30	-752,663	3,042	18,19	71,15	-205,073	-535,187	7,759	42,90	63,80	199,220	
16	2860,00	43,250	1700,0	375,000	"	1,362,492	-54,279	-66,06	-70,36	-453,736	16,139	56,46	14,67	-36,064	-135,967	5,412	29,90	98,76	245,244	
17	3038,75	25,125	1550,0	285,416	"	846,556	-68,312	-83,22	-293,58	-491,800	39,741	142,73	109,06	174,940	-162,277	6,327	40,88	50,88	61,619	
18	3217,50	12,275	1200,0	246,654	"	374,410	-93,603	-114,03	-407,61	-316,650	79,213	126,63	336,63	1153,896	-477,54	6,6416	214,25	121,550		
19	3396,25	4,000	750,0	160,415	"	9,257	"	"	"	+ 1,791	"	"	"	"	+ 132	"	"	"	"	
20	3575,00	0	0	495,544	"	"	"	"	"	"	"	"	"	"	"	"	"	"	"	"

Calcolo delle grandezze relative alle sesse unibitrinodale col metodo di Defaut per valori di T corrispondenti rispettivamente a T₁ = 213, T₂ = 152, T₃ = 111

tiche, ecc.): in altre parole il procedimento di Chrystal consiste nel ricondurre le eq. idrodinamiche per un bacino qualsiasi alla stessa forma che esse hanno nel caso di un bacino rettilineo di sezione rettangolare e profondità variabile.

Nel nostro caso da una carta batometrica al 50.000 (¹), con la massima cura possibile onde non apportare altri errori e approssimazioni oltre quelli inerenti alla carta stessa, si è disegnata la linea che tocca i punti di maggiore profondità lungo la massima estensione del lago (la cosiddetta « linea di valle ») a partire dall'estremo sud; dato l'andamento, piuttosto regolare, di questa linea rispetto alla distribuzione delle masse d'acqua che lascia da ambo le parti si è suddivisa in 20 parti uguali della lunghezza di m 178,75 ciascuna (m 3575 complessivi).

Per i punti di suddivisione sono state disegnate le traccie delle sezioni verticali come è indicato nella fig. 1: su opportuna scala sono state disegnate con i dati batometrici della carta le sezioni verticali e con un planimetro se ne è trovata l'estensione superficiale, analogamente sono state misurate le aree parziali, progressive e totale in superficie. I risultati sono riportati nella tabella n. 1.

La curva normale come si vede sul diagramma della fig. 2 non è una curva riducibile ad una forma analitica semplice e quindi non è stato possibile applicare il metodo di Chrystal e si è ritenuto opportuno tentare una soluzione con quello di Defant.

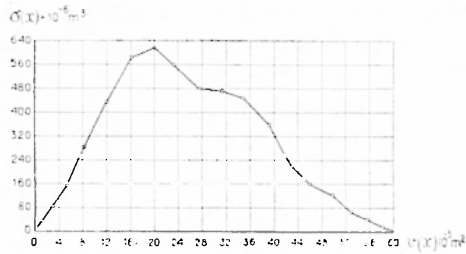


Fig. 2

Determinazione delle grandezze relative alle sesse uni, bi e trinodale col metodo di Defant.

Come è noto si comincia col determinare, in prima approssimazione, il periodo della sessa uninodale mediante la formula di Merian:

$$T = \frac{2l}{\sqrt{gh}}$$

dove l è la lunghezza del lago e h la profondità media. Si calcolano poi gli spostamenti orizzontali e le variazioni degli spostamenti verticali Δy , sezione per sezione, mediante le seguenti espressioni:

$$\Delta \eta_i = \frac{1}{gT^2} \xi \Delta x \qquad \xi(x) = -\frac{1}{S(x)} \int_0^x \eta b(x) dx$$

che si deducono immediatamente dalle equazioni idrodinamiche dei piccoli moti in un canale [1] e [2] essendo ξ ed η grandezze periodiche sinusoidali.

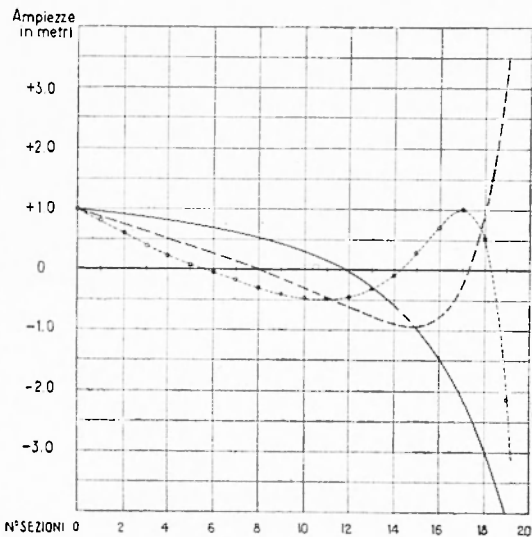


Fig. 3

Per un numero di sezioni trasversali sufficientemente grandi si può supporre che dall'estremità del lago $x=0$ fino alla prima sezione trasversale l'entità dello spostamento verticale resti immutata; in tal modo la grandezza:

$$q = \int_0^{x_1} \bar{\eta} b(x) dx = \bar{\eta} v(x_1)$$

può essere immediatamente calcolata essendo tutto noto: la q sta a rappresentare il volume d'acqua che passando attraverso la sezione $S(x_1)$ provocherebbe nella prima suddivisione del lago lo spostamento verticale assegnato di η cm. Si determina successivamente $\xi(x)$ e quindi $\Delta \eta_i$, che è la variazione dell'ampiezza verticale dall'estremità $x=0$ alla prima sezione. Si procede quindi da una sezione alla successiva calcolando i volumi d'acqua transitanti attraverso le varie sezioni e quindi gli spostamenti verticali da esse determinati nelle singole suddivisioni del lago. Per l'ultima sezione la cui superficie $S(l)=0$, dovrà aversi $q=0$. Se il periodo ottenuto con la formula di Merian è il

Si fissa uno spostamento arbitrario, per es. $\eta = 100$ cm (gli spostamenti reali sono in genere molto più piccoli di questo valore) per l'estremo $x=0$; le condizioni da soddisfare sono:

$$\xi(0)=0, \quad \xi(l)=0$$

dato che per masse d'acqua chiuse, nel caso di oscillazioni libere, gli spostamenti orizzontali debbono annullarsi alle estremità.

Per un numero di sezioni trasversali sufficientemente grandi si può supporre che dall'estremità del lago $x=0$ fino alla prima sezione trasversale l'entità dello spostamento verticale resti immutata; in tal modo la grandezza:

vero periodo della sessa uninodale eseguendo il calcolo si trova che per l'ultima sezione è: $q=0$. Se q risulta maggiore o minore di zero si dovrà correggere opportunamente il valore di T .

Con i dati della tab. n. 1 si è proceduto al calcolo secondo il metodo sopra accennato e nella tabella stessa vengono riportati i calcoli relativi alla sessa uninodale, binodale e trinodale per i valori più vicini al vero tra tutti quelli calcolati; la q finale non risulta esattamente uguale a zero ma è abbastanza piccola in tutti e tre i casi e precisamente maggiore di zero per la prima e minore di zero per la seconda e per la terza; interpolando i valori di T corrispondenti a questi calcoli con quelli di altri calcoli analoghi i valori definitivi di T risultano:

$$\begin{aligned} T_{\text{I}} &= 4^{\text{m}},03 \text{ per la uninodale} \\ T_{\text{II}} &= 2^{\text{m}},53 \text{ » » binodale} \\ T_{\text{III}} &= 1^{\text{m}},90 \text{ » » trinodale.} \end{aligned}$$

Il diagramma della fig. 3 dà un'idea della distribuzione delle ampiezze degli spostamenti verticali secondo quanto risulta dai calcoli eseguiti con questo metodo.

La posizione delle linee nodali risulta la seguente:

$$\begin{array}{l} \text{per la uninodale: } x_{\frac{1}{2}}^{\text{I}} = 2122 \text{ m. tra la } 11^{\text{a}} \text{ e } 12^{\text{a}} \text{ sezione} \\ \text{per la binodale: } \left\{ \begin{array}{l} x_{\frac{1}{2}}^{\text{II}} = 1451 \text{ » » » } 8^{\text{a}} \text{ » } 9^{\text{a}} \text{ »} \\ x_{\frac{2}{2}}^{\text{II}} = 3067 \text{ » » » } 17^{\text{a}} \text{ » } 18^{\text{a}} \text{ »} \end{array} \right. \\ \text{per la trinodale } \left\{ \begin{array}{l} x_{\frac{1}{2}}^{\text{III}} = 982 \text{ » » » } 5^{\text{a}} \text{ » } 6^{\text{a}} \text{ »} \\ x_{\frac{2}{2}}^{\text{III}} = 2513 \text{ » » » } 14^{\text{a}} \text{ » } 15^{\text{a}} \text{ »} \\ x_{\frac{3}{2}}^{\text{III}} = 3251 \text{ » » » } 18^{\text{a}} \text{ » } 19^{\text{a}} \text{ »} \end{array} \right. \end{array}$$

Sesse uni, bi e trinodale con il metodo di Hidaka.

Alla equazione di Chrystal può darsi una ulteriore forma mediante l'introduzione della variabile $z=v/u$.

La funzione $\sigma(z)$ assume la forma:

$$\sigma(z) = h\gamma(z) \quad [13]$$

dove h è una costante avente le dimensioni di un volume mentre la funzione $\gamma(z)$ ha evidentemente dimensioni nulle: le [11] e [12] divengono rispettivamente:

$$\frac{d^2u}{dz^2} + \frac{l}{\gamma(z)} u = 0 \quad [14]$$

$$u(0) = u(1) = 0 \quad [15]$$

dove:

$$\lambda = \frac{4\pi^2 a^2}{T^2 gh} \quad [16]$$

La [14] con le condizioni [15] ammette soluzioni solo per determinati valori di λ .

Molti ricercatori (Chrystal, Proudman, Doodson, Hidaka, ecc.) hanno tentato di dare delle soluzioni della [14] applicabili effettivamente in pratica per la determinazione delle grandezze occorrenti nello studio delle sesse.

Esponiamo brevemente il metodo di Hidaka basato sul calcolo delle variazioni di Ritz.

La risoluzione della [14] con le condizioni [15] conduce a trovare il valore di minimo dell'integrale:

$$I(u) = \int_0^1 \left\{ \left(\frac{du}{dz} \right)^2 - \frac{\lambda}{\gamma(z)} u^2 \right\} dz \quad [17]$$

A tal fine se si esprime la funzione u come una combinazione lineare delle $m+1$ funzioni:

$$\Psi_i(z) = z(1-z)z^i \quad [18]$$

soddisfacenti alle stesse condizioni ai limiti di $u(z)$:

$$\Psi_i(0) = \Psi_i(1) = 0 \quad (\text{per } i = 0, 1, 2, \dots, m) \quad [19]$$

e cioè:

$$u = \sum_0^m A_i \Psi_i(z) \quad [20]$$

e si sostituisce la [20] nella [17] si possono determinare le condizioni di minimo per $I(u)$ risolvendo le $m+1$ equazioni:

$$\frac{\partial I}{\partial A_j} = 0 \quad \text{per } j = 0, 1, 2, \dots, m \quad [21]$$

che scritte in forma esplicita assumono il seguente aspetto:

$$\left. \begin{aligned} \left(\frac{1}{3} - I_0 \lambda \right) A_0 + \left(\frac{1}{6} - I_1 \lambda \right) A_1 + \left(\frac{1}{10} - I_2 \lambda \right) A_2 + \dots &= 0 \\ \left(\frac{1}{6} - I_1 \lambda \right) A_0 + \left(\frac{2}{15} - I_2 \lambda \right) A_1 + \left(\frac{1}{10} - I_3 \lambda \right) A_2 + \dots &= 0 \\ \left(\frac{1}{10} - I_2 \lambda \right) A_0 + \left(\frac{1}{10} - I_3 \lambda \right) A_1 + \left(\frac{3}{35} - I_4 \lambda \right) A_2 + \dots &= 0 \\ \dots & \dots \end{aligned} \right\} \quad [22]$$

dove:

$$I_n = \int_0^1 \frac{z^{2n}(1-z)^{2n}}{\gamma(z)} dz \quad [23]$$

Se si eliminano le $m+1$ costanti A_i si ha l'equazione dei periodi sotto forma del determinante di ordine $m+1$:

$$q(\lambda) = \begin{vmatrix} \frac{1}{3} - I_0 \lambda & \frac{1}{6} - I_1 \lambda & \frac{1}{10} - I_2 \lambda & \dots \\ \frac{1}{6} - I_1 \lambda & \frac{2}{15} - I_2 \lambda & \frac{1}{10} - I_3 \lambda & \dots \\ \frac{1}{10} - I_2 \lambda & \frac{1}{10} - I_3 \lambda & \frac{3}{35} - I_4 \lambda & \dots \\ \dots & \dots & \dots & \dots \end{vmatrix} = 0 \quad [24]$$

Hidaka ha calcolato le equazioni per $m=1$ ed $m=2$, P. Caloi (7) ha calcolato l'eq. per $m=3$.

La risoluzione della [24] diviene impossibile praticamente per m superiore a questi valori.

TABELLA 2

Nel nostro caso, come già abbiamo avuto occasione di ricordare, la $\sigma(z)$ non essendo esprimibile mediante una curva analitica di tipo semplice per applicare il metodo di Hidaka è stato necessario ricorrere ad una integrazione numerica degli integrali [23]; i calcoli fino al valore $n=4$, sono contenuti nella tabella n. 2, ed i risultati sono i seguenti:

Sezioni	$U(x)$	$Z_n \frac{U(x)}{a}$	$\sigma(x) = \frac{U(x)}{a}$	$\frac{\sigma(x)^2}{\sigma(x)}$	$\frac{\sigma(x)^2}{\sigma(x)}$	Δz	$\frac{M_n}{\sigma(x)}$	Mz	Mz^2	Mz^3	Mz^4
	m ²	m ³	m ³	10 ⁻¹²	10 ⁻¹²	10 ⁻¹²	10 ⁻¹²	10 ⁻¹²	10 ⁻¹²	10 ⁻¹²	10 ⁻¹²
0	0	0	0	0	0	0	0	0	0	0	0
1	131,250	0,021605	29.130.500	15,345	0,021605	0,5515	6,0072	0,0020	0,0302	0,0000	0,0000
2	310,416	0,051097	83.462.500	28,160	0,039492	0,8307	0,0424	0,0022	0,0001	0,0000	0,0000
3	547,916	0,090192	174.418.125	35,608	0,039095	1,5094	0,1361	0,0123	0,0011	0,0001	0,0001
4	818,750	0,136774	286.218.750	47,509	0,044582	2,1160	0,2855	0,0335	0,0052	0,0007	0,0007
5	1.208,335	0,198903	435.350.000	56,386	0,064125	3,7572	0,7473	0,1436	0,0296	0,0059	0,0059
6	1.591,667	0,262003	584.615.750	63,951	0,065100	4,9353	1,0573	0,2770	0,0726	0,0195	0,0195
7	1.993,750	0,328169	616.605.000	73,538	0,066186	5,7180	1,7125	0,5620	0,1844	0,0605	0,0605
8	2.347,917	0,386468	558.657.000	100,641	0,058599	5,8673	2,2676	0,8784	0,3367	0,1509	0,1509
9	2.760,417	0,434390	479.964.375	124,054	0,067902	6,6751	3,6510	1,7933	0,8156	0,3707	0,3707
10	3.143,750	0,517490	475.875.000	151,568	0,065100	8,5019	4,2962	2,2257	1,1505	0,5954	0,5954
11	3.514,584	0,576552	446.415.750	135,181	0,061642	8,1258	4,7032	2,7210	1,5747	0,9107	0,9107
12	3.927,644	0,646134	537.594.750	154,389	0,067902	10,4835	6,7768	4,8071	2,8118	1,8100	1,8100
13	4.310,417	0,709554	220.596.875	192,546	0,065100	12,1497	8,6206	6,1166	4,1559	3,0753	3,0753
14	4.618,751	0,760288	1161.303.125	205,917	0,050754	10,4511	7,9458	6,0411	4,5950	3,4970	3,4970
15	4.968,751	0,817801	119.146.875	186,182	0,057613	10,7265	8,7732	7,1756	5,8689	4,8002	4,8002
16	5.293,751	0,871399	73.525.000	170,799	0,055498	9,1374	7,9623	6,9324	6,0411	5,7486	5,7486
17	5.579,167	0,918381	36.943.750	141,285	0,046582	6,7728	6,7256	5,7174	5,5103	4,6222	4,6222
18	5.825,001	0,958848	14.850.000	104,648	0,040467	4,2429	4,0683	5,9009	5,7404	4,5864	4,5864
19	5.985,416	0,985254	5.000.000	70,533	0,026408	1,6572	1,6298	1,8078	1,7307	1,7500	1,7500
20	6.075,000	1	0	0	0	0,014746	0	0	0	0	0
							114.6209	71,4086	50,7302	38,6193	30,7232
							(I ₀)	(I ₁)	(I ₂)	(I ₃)	(I ₄)

$$I_0 = 114,6209 \cdot 10^{-12}; I_1 = 71,4086 \cdot 10^{-12}; I_2 = 50,7302 \cdot 10^{-12};$$

$$I_3 = 38,6193 \cdot 10^{-12}; I_4 = 30,7232 \cdot 10^{-12}$$

Per $m=1$ la $u(z)$ assume la forma:

$$u = z(1-z)(A_0 + A_1z)$$

e l'equazione dei periodi, secondo la [24], a calcoli fatti, è:

$$q(\lambda) = 715,55303 \cdot 10^{-24} \lambda^3 - 8,38999 \cdot 10^{-12} \lambda + \frac{1}{60} = 0$$

Le radici di questa equazione sostituite nella [14] danno:

$$T_1 = 4^m, 03 \quad \text{per la sessa unimodale}$$

$$T_2 = 2^m, 12 \quad \text{» » » binodale.}$$

Il secondo periodo si discosta alquanto dal valore trovato col procedimento del Defant e quindi è più probabile che un valore più vicino al vero per la binodale sia quello che più sotto è stato ottenuto dall'equazione cubica a cui porta il metodo di Hidaka per $m=2$.

Infatti per $m=2$ l'espressione di u è la seguente:

$$u = z(1-z)(A_0 + A_1z + A_2z^2)$$

e l'equazione che si deduce dalla [24] è:

$$q(\lambda) = 278,26430 \cdot 10^{-36} \lambda^3 - 7,90287 \cdot 10^{-24} \lambda^2 + 0,05674 \cdot 10^{-12} \lambda - \frac{1}{10500} = 0$$

da cui si traggono i seguenti valori per i periodi:

$$T_1 = 4^m, 12 \quad \text{per la sessa unimodale}$$

$$T_2 = 2^m, 31 \quad \text{» » » binodale}$$

$$T_3 = 1^m, 50 \quad \text{» » » trinodale.}$$

Determinazione delle linee nodali col metodo di Hidaka.

I nodi si determinano ponendo la condizione:

$$\frac{du}{dz} = 0$$

che per $m=2$ diviene:

$$f(z) = 4 \frac{A_2}{A_0} z^3 + 3 \left(\frac{A_1}{A_0} - \frac{A_2}{A_0} \right) z^2 + 2 \left(1 - \frac{A_1}{A_0} \right) z - 1 = 0 \quad [25]$$

dove i valori $\frac{A_1}{A_0}$ e $\frac{A_2}{A_0}$ si deducono da una coppia delle 3 equazioni tratte dalle [22]. Scegliendo le equazioni:

$$\begin{aligned} \left(\frac{1}{3} - I_0\lambda\right)A_0 + \left(\frac{1}{6} - I_1\lambda\right)A_1 + \left(\frac{1}{10} - I_2\lambda\right)A_2 &= 0 \\ \left(\frac{1}{6} - I_1\lambda\right)A_0 + \left(\frac{2}{15} - I_2\lambda\right)A_1 + \left(\frac{1}{10} - I_3\lambda\right)A_2 &= 0 \end{aligned} \quad [26]$$

i valori di detti rapporti sono risultati, per λ corrispondente alla sessa uninodale:

$$\frac{A_1}{A_0} = 2,57954 \qquad \frac{A_2}{A_0} = -3,11985$$

e quindi la [25] diviene:

$$f(z) = 12,47940 z^3 - 17,09817 z^2 + 3,15908 z + 1 = 0$$

Le radici che soddisfano al nostro problema sono evidentemente soltanto quelle rispondenti alla condizione:

$$0 < z \leq 1 \quad [27]$$

in questo caso se ne ha una sola e precisamente:

$$z_1 = 0,47074$$

l'uninodo è quindi tra la 9^a e la 10^a sezione e precisamente in corrispondenza dell'ascissa:

$$x_1 = 1656 m.$$

Ripetendo lo stesso procedimento con i valori di λ corrispondenti alla sessa bi e trinodale sostituiti nella [26] e traendo i rispettivi valori dei rapporti $\frac{A_1}{A_0}$ e $\frac{A_2}{A_0}$ da sostituire nella [24] si ha per la binodale

$$f(z) = 25,23040 z^3 - 28,97004 z^2 + 4,69816 z + 1 = 0$$

che dà i seguenti due valori soddisfacenti alla condizione [27]:

$$z_1 = 0,37786 \qquad z_2 = 0,88841$$

Le ascisse dei binodi risultano quindi:

$$\begin{aligned} x_1^{\text{II}} &= 1403 m. && \text{tra la } 7^{\text{a}} \text{ ed } 8^{\text{a}} \text{ suddivisione} \\ x_2^{\text{II}} &= 2424 m. && \text{» } \text{» } 16^{\text{a}} \text{ » } 17^{\text{a}} \text{ »} \end{aligned}$$

e per la sessa trinodale:

$$f(z) = 12,38108 z^3 - 20,67597 z^2 + 9,59344 z - 1 = 0$$

che dà tutte e tre le radici soddisfacenti alla [27]:

$$z_1 = 0,14610 \quad z_2 = 0,59291 \quad z_3 = 0,93065$$

Le ascisse dei trinodi risultano quindi:

$$x_1^{\text{III}} = 747m \quad x_2^{\text{III}} = 2004m \quad x_3^{\text{III}} = 3093m.$$

Distribuzione delle ampiezze degli spostamenti verticali.

L'ampiezza dello spostamento verticale viene dato dalla [4]

$$\eta = - \frac{du}{dv} = -a \frac{du}{dz}$$

nel nostro caso:

$$\eta = -a \{ 4A_2 z^3 + 3(A_1 - A_2)z^2 + 2(A_0 - A_1)z - A_0 \}$$

quindi l'andamento delle ampiezze degli spostamenti verticali, relativamente alle sesse, uni, bi e trinodale, ponendo: $\zeta = \frac{\eta}{aA_0}$ viene rap-

TABELLA 3

sezioni	Z	ζ^{I}	ζ^{II}	ζ^{III}
0	0	+ 1	1	1
1	0,02160	+ 1,060	1,087	0,802
2	0,05110	+ 1,118	1,168	0,562
3	0,09019	+ 1,155	1,206	0,294
4	0,13477	+ 1,146	1,169	0,052
5	0,19890	+ 1,050	0,987	- 0,188
6	0,26200	+ 0,878	0,696	- 0,317
7	0,32819	+ 0,636	0,313	- 0,359
8	0,38649	+ 0,337	- 0,055	- 0,334
9	0,45439	+ 0,076	- 0,480	- 0,252
10	0,51749	- 0,215	- 0,830	- 0,143
11	0,57853	- 0,479	- 1,093	- 0,027
12	0,64643	- 0,732	- 1,253	+ 0,094
13	0,70953	- 0,909	- 1,239	+ 0,180
14	0,76029	- 0,997	- 1,086	+ 0,216
15	0,81790	- 1,026	- 0,732	+ 0,211
16	0,87140	- 0,973	- 0,209	+ 0,148
17	0,91858	- 0,853	+ 0,424	+ 0,038
18	0,95885	- 0,689	+ 1,112	- 0,104
19	0,98525	- 0,550	+ 1,638	- 0,223
20	1	- 0,460	+ 1,958	- 0,299

presentato dalle tre seguenti funzioni:

$$\zeta^{\text{I}} = 12,47940 z^3 - 17,09817 z^2 + 3,15908 z + 1$$

$$\zeta^{\text{II}} = 25,23040 z^3 - 28,97004 z^2 + 4,69816 z + 1$$

$$\zeta^{\text{III}} = -12,38108 z^3 + 20,67597 z^2 - 9,59304 z + 1$$

I risultati dei calcoli sono riportati nella tabella n. 3, e l'andamento delle stesse ampiezze si vede chiaramente nel diagramma n. 4.

Nella tabella n. 4 vengono riportati i risultati relativi al calcolo dei periodi e delle ascisse dei nodi ottenuti col metodo di Hidak confrontati con quelli ottenuti col procedimento di Defant.

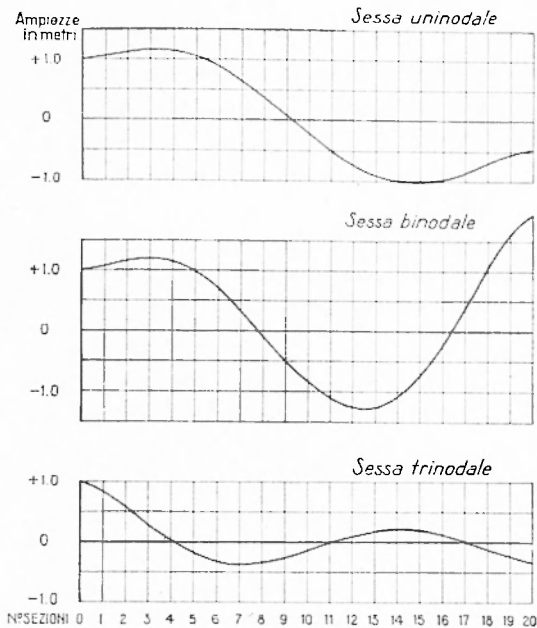


Fig. 4

Mentre sussiste una buona concordanza per i periodi, non si nota sensibile accordo nella posizione dei nodi dedotta con i due metodi; evidentemente il fattore di forma del lago ha una importanza fondamentale nei riguardi della formazione e delle caratteristiche delle sesse e tutti i metodi teorici ideati non possono ottenere altro che delle soluzioni più o meno approssimate. Il metodo di Hidaka è forse quello che può dare i migliori risultati

nel caso di laghi aventi curve normali non troppo semplici, ed è quindi probabile che i risultati sopra ottenuti possano essere non troppo lontani dalla realtà; ad ogni modo i risultati sperimentali che si otterranno disponendo opportunamente gli apparecchi di osservazione potranno confermare o meno questa previsione. Dobbiamo al-

TABELLA 4

Metodo	S. uninode		S. binodale			S. trinodale			
	T^1	x^1	T^2	x^2	x^3	T^3	x^4	x^5	x^6
Defant	242	2122	152	1481	3367	114	982	2543	3751
Hidaka	247	1655	139	1403	2424	93	747	2304	3093

très notare che le onde stazionarie che costituiscono le sesse si formano generalmente in senso longitudinale ma possono prodursi anche in senso trasversale e nel nostro caso dato che la dimensione trasversale non differisce notevolmente dalla longitudinale si potranno verificare sesse anche in questa ed in altre direzioni. In una prossima comunicazione verranno dati i risultati dello studio su un modello e quelli delle osservazioni dirette.

Roma — Istituto Nazionale di Geofisica — gennaio 1946.

RIASSUNTO

Viene fatto uno studio teorico sulle sesse del lago di Albano nei colli laziali; si confrontano e si discutono i risultati ottenuti mediante l'applicazione di due metodi diversi.

BIBLIOGRAFIA

- (1) MARINELLI O.: *Appunti per la storia della nostra limnologia con un'appendice sulle depressioni italiane*, Atti del V Congresso Geogr. Italiano, Napoli (1905).
 (2) CUMIN G.: *La conca di Albano*, Appunti morfologici, Boll. della Soc. Geogr. Ital., Roma (1917).
 (3) SABATINI: *Il vulcano laziale*, Roma 1900.
 (4) RICCARDI R.: *I laghi d'Italia*, Boll. della Soc. Geogr. Ital., Roma (1925).
 (5) MARINELLI O.: *Area e profondità dei principali laghi italiani*, Riv. Geogr. Italiana, Firenze (1894-95).
 (6) CHRYSTAL G.: *On the Hydrodynamical theory of seiches*, Trans. of the R. Soc. of Edinburg, v. XLV, p. 455 (1955).
 (7) DEFANT A.: *Neue methode, etc.*, Ann. der Hydrogr., XLVI (1918).
 (8) HIDAKA K.: *Application of Ritz's variation method to the determination of seiches in a lake*, Mem. Imp. Marine Obs. VI, 2 (1936).
 (9) CALOI P.: *Le sesse del lago di Garda*, Annali di Geofisica n. 1 (1948).
 (10) DE AGOSTINI G.: *Atlante dei laghi italiani*, Novara-Roma (14 tavole) 1917.